

УДК 539.3

ОПИСАНИЕ КОНЕЧНЫХ ДЕФОРМАЦИЙ ТВЕРДЫХ ТЕЛ В ОТСЧЕТНОЙ КОНФИГУРАЦИИ

М. Ю. Соколова, Д. В. Христинич

Тульский государственный университет, 300600 Тула

E-mails: sokolova@tula.net, dmitro@tula.net

Сформулированы вариационные принципы равновесного протекания процессов деформирования и теплопроводности. Вариационные соотношения записаны в начальной конфигурации тела и могут быть использованы без ограничения на величины деформаций. Представлена система уравнений связанной краевой задачи для изотропных и анизотропных тел, сформулированы начальные и граничные условия. Приведены результаты решения задач о конечном деформировании изначально цилиндрических тел.

Ключевые слова: термомеханика, обратимые деформации, конечные деформации, вариационные принципы, связанные краевые задачи.

Современные конструкционные материалы применяются в широком диапазоне механических и температурных воздействий. Для описания поведения деформируемых твердых тел при указанных воздействиях во многих случаях необходимо построение сложных нелинейных моделей.

В настоящей работе на основе классического термомеханического подхода предложена постановка задачи о конечном деформировании изотропных и анизотропных тел под действием внешних силовых и температурных факторов с учетом их взаимного влияния и приведены результаты ее численного решения.

Система термомеханических уравнений содержит соотношения, описывающие движение материальных точек деформируемого тела в результате внешних механических и тепловых воздействий, а также определяющие соотношения. При описании процессов конечного деформирования необходимо учитывать, что напряженно-деформированное состояние тела определяется не только смещениями точек тела в данный момент времени, но и всей историей деформирования. Следовательно, целесообразно использовать условия равновесного протекания процессов деформирования, согласно которым необходимо выполнение условий равновесия не только для напряжений и деформаций, но и для их приращений, обусловленных приращениями внешних воздействий в данный момент времени.

В работах [1, 2] было предложено формулировать условия равновесного протекания процесса в виде вариационного соотношения, записанного в текущей конфигурации, что позволяет использовать при решении задач смешанный подход Эйлера — Лагранжа. В данной работе вариационное условие сохранения равновесия предлагается записывать в отсчетной конфигурации, что позволит значительно упростить вычислительные алгоритмы.

Работа выполнена при финансовой поддержке Российского фонда фундаментальных исследований (код проекта 10-01-97501-р-центр-а).

© Соколова М. Ю., Христинич Д. В., 2012

Изменение температурного поля описывается уравнением теплопроводности, которое, как правило, представляется в дифференциальной форме. Вариационный принцип теплопроводности для сред, теплоемкость и теплопроводность которых зависят от температуры, приведен в работе [3]. При этом не учитывается влияние деформационных характеристик на температурное поле, а только рассматриваются малые деформации. Поэтому в данной работе предлагается вариационное соотношение, с помощью которого можно исследовать процессы конечного деформирования изотропных и анизотропных тел с учетом взаимного влияния полей деформаций и температуры.

1. Вариационные формы уравнения равновесия. Рассмотрим произвольно выбранный объем V сплошной среды в произвольный момент времени t . На материальный объем действуют внешние поверхностные силы с вектором напряжения \mathbf{P} , а также внешние массовые силы с интенсивностью \mathbf{F} . Выражение для суммарной силы, действующей на частицу массой $dm = \rho dV$, может быть записано в эйлеровом или лагранжевом представлении

$$d^l \mathbf{R} = (\nabla \cdot \mathbf{S} + \rho \mathbf{F}) dV = (\overset{\circ}{\nabla} \cdot \mathbf{P} + \rho_0 \mathbf{F}) dV_0.$$

Здесь \mathbf{S} — тензор истинных напряжений Коши, определяющий внешние поверхностные силы, действующие на материальный объем, в соответствии с соотношением $\mathbf{P} = \mathbf{n} \cdot \mathbf{S}$; \mathbf{n} — вектор нормали к поверхности Σ . Набла-оператор записан в эйлеровых координатах: $\nabla = \mathbf{e}^i \partial / \partial x^i$, следовательно, тензор напряжений \mathbf{S} , массовая плотность ρ , интенсивность массовых сил должны рассматриваться как функции эйлеровых координат: $S(\mathbf{x}, t)$, $\rho(\mathbf{x}, t)$, $\mathbf{F}(\mathbf{x}, t)$.

В исходной системе координат оператор Гамильтона обозначен $\overset{\circ}{\nabla} = \mathbf{e}^i \partial / \partial x^i$, ρ_0 — начальная плотность материала, \mathbf{P} — тензор условных напряжений Пиолы — Кирхгофа (первый тензор Пиолы — Кирхгофа), связанный с тензором напряжений Коши с помощью соотношения

$$\mathbf{P} = \frac{dV}{dV_0} (\Phi^{-1})^T \cdot \mathbf{S} = \frac{dV}{dV_0} \mathbf{S} \cdot \Phi^{-1}, \quad (1.1)$$

где $\Phi = \overset{\circ}{\nabla} \mathbf{x}$ — аффино́р деформаций.

Первый тензор Пиолы — Кирхгофа определяет вектор напряжений \mathbf{P}_0 , отнесенный к начальной площади материального элемента, через ориентацию начальной нормали \mathbf{n}_0 к этому элементу. При этом $\mathbf{P}_0 d\Sigma_0 = \mathbf{P} d\Sigma$ и $\mathbf{P}_0 = \mathbf{n}_0 \cdot \mathbf{P}$.

Согласно принципу Лагранжа суммарная работа на любых возможных перемещениях всех активных сил, действующих на механическую систему в фиксированный момент времени, равна нулю. Использование эйлеровой формы нерационально, так как варьирование перемещений обуславливает варьирование оператора $\nabla = \boldsymbol{\epsilon}^i \partial / \partial x^i$, поскольку векторы $\boldsymbol{\epsilon}^i$ взаимного локального базиса при варьировании текущего состояния системы изменяются. При этом, например, $\nabla \cdot \delta \mathbf{u} \neq \delta \nabla \cdot \mathbf{u}$. Оператор $\overset{\circ}{\nabla} = \mathbf{e}^i \partial / \partial x^i$ не изменяется при варьировании перемещений, поскольку векторы \mathbf{e}^i остаются неизменными при варьировании перемещений. В этом случае операции дифференцирования и варьирования коммутативны и $\overset{\circ}{\nabla} \cdot \delta \mathbf{u} = \delta \overset{\circ}{\nabla} \cdot \mathbf{u}$. Поэтому вариационный принцип Лагранжа удобнее записать в следующем виде:

$$\int_{V_0} (\overset{\circ}{\nabla} \cdot \mathbf{P} + \rho_0 \mathbf{F}) \cdot \delta \mathbf{u} dV_0 = 0.$$

Еще одна вариационная форма записи уравнений движения может быть получена при использовании принципа Журдена [4]. Согласно данному принципу возможная мощность активных нагрузок, действующих на частицу среды в фиксированный момент времени t ,

равна нулю. Возможная мощность вычисляется для поля возможных в данный момент скоростей:

$$\int_V (\nabla \cdot S + \rho \mathbf{F}) \cdot \delta \mathbf{v} dV = 0.$$

При этом целесообразно использовать представление $d' \mathbf{R}$ в форме Эйлера, так как в случае варьирования скоростей, в отличие от случая варьирования перемещений, оператор ∇ не изменяется.

Дифференцируя по времени t выражение для суммарной силы $d' \mathbf{R}$, записанное в лагранжевом представлении, получаем

$$\frac{d\mathbf{R}}{dt} = \frac{d}{dt} [(\overset{\circ}{\nabla} \cdot P + \rho_0 \mathbf{F}) dV_0] = (\overset{\circ}{\nabla} \cdot \dot{P} + \rho_0 \dot{\mathbf{F}}) dV_0 = 0. \quad (1.2)$$

Умножим выражение (1.2) на вариацию скорости $\delta \mathbf{v}$, отличную от нуля во всех точках рассматриваемого материального объема, и проинтегрируем по начальному объему:

$$\int_{V_0} (\overset{\circ}{\nabla} \cdot \dot{P} + \rho_0 \dot{\mathbf{F}}) \cdot \delta \mathbf{v} dV_0 = 0.$$

После преобразований с использованием теоремы Остроградского — Гаусса получаем условие равновесного протекания процесса деформирования в вариационной форме

$$\int_{V_0} \dot{P} \cdot \delta (\mathbf{v} \overset{\circ}{\nabla}) dV_0 = \int_{\Sigma_0} \dot{\mathbf{P}}_0 \cdot \delta \mathbf{v} d\Sigma_0 + \int_{V_0} \rho_0 \dot{\mathbf{F}} \cdot \delta \mathbf{v} dV_0, \quad (1.3)$$

где $\dot{\mathbf{P}}_0 = \mathbf{n}_0 \cdot \dot{P}$ — скорость изменения вектора внешней нагрузки, приложенной на внешней поверхности Σ_0 с вектором единичной нормали \mathbf{n}_0 .

В работах [5, 6] предложен вариационный принцип, подобный соотношению (1.3) и полученный в результате обобщения вариационного принципа нелинейной теории упругости на случай, когда тензор \dot{P} линейно зависит от тензора $\nabla \mathbf{v}$ и является его потенциальной тензорной функцией. Соотношение (1.3) содержит абсолютные производные по времени от тензора напряжений Пиолы — Кирхгофа, скорости точек тела. Следовательно, с помощью этого соотношения описывается квазистационарное движение сплошной среды при произвольных определяющих соотношениях и заданных законах изменения внешних нагрузок и скоростей точек, расположенных на соответствующих материальных поверхностях, ограничивающих рассматриваемую среду.

В вариационное соотношение (1.3) входит производная тензора напряжений Пиолы — Кирхгофа по времени \dot{P} , которая зависит от жесткого поворота, сопровождающего деформацию, поскольку в соответствии с определением (1.1)

$$\dot{P} = \left(\frac{dV}{dV_0} S \right) \cdot R^{-1} \cdot U^{-1} + \frac{dV}{dV_0} S \cdot ((R^{-1}) \cdot U^{-1} + R^{-1} \cdot (U^{-1}) \cdot),$$

где R — ортогональный тензор поворота, входящий в полярное разложение аффинора деформаций $\Phi = U \cdot R$; $U = U^T$ — левая мера искажения [7, 8].

Таким образом, получим связь между тензором \dot{P} и производной от “повернутого” обобщенного тензора напряжений Коши

$$\Sigma_R = \frac{dV}{dV_0} R \cdot S \cdot R^{-1}, \quad (1.4)$$

который инвариантен относительно жесткого поворота. Из определений (1.1), (1.4) после дифференцирования по времени находим

$$\dot{P} = (R^{-1})^\cdot \cdot \Sigma_R \cdot U^{-1} + R^{-1} \cdot \dot{\Sigma}_R \cdot U^{-1} + R^{-1} \cdot \Sigma_R \cdot (U^{-1})^\cdot.$$

Подставим выражение для \dot{P} в вариационное соотношение (1.3):

$$\begin{aligned} \int_{V_0} [(R^{-1})^\cdot \cdot \Sigma_R \cdot U^{-1} + R^{-1} \cdot \dot{\Sigma}_R \cdot U^{-1} + R^{-1} \cdot \Sigma_R \cdot (U^{-1})^\cdot] \cdot \delta(\mathbf{v} \overset{\circ}{\nabla}) dV_0 = \\ = \int_{\Sigma_0} \dot{\mathbf{P}}_0 \cdot \delta \mathbf{v} d\Sigma_0 + \int_{V_0} \rho_0 \dot{\mathbf{F}} \cdot \delta \mathbf{v} dV_0. \end{aligned} \quad (1.5)$$

Соотношение (1.5) является условием равновесного протекания процесса деформирования, записанным через “повернутый” обобщенный тензор Σ_R в отсчетной конфигурации.

2. Вариационная форма уравнения теплопроводности. Тепловое воздействие на тело определяется притоком тепловой энергии через поверхность Σ , ограничивающую объем V , и местными источниками тепла, которые имеют физико-химическую природу и в дальнейшем не учитываются. Выражение для общего теплового потока через поверхность Σ за время Δt представим в виде

$$\Delta Q = - \int_{\Sigma} \mathbf{q}(\mathbf{x}, t) \cdot \mathbf{n} d\Sigma \Delta t = - \int_{\Sigma_0} \mathbf{q}_0(\mathbf{x}, t) \cdot \mathbf{n}_0 d\Sigma_0 \Delta t, \quad (2.1)$$

где \mathbf{q} — вектор теплового потока, характеризующий приток тепла через единичную поверхность в направлении нормали \mathbf{n} к текущей поверхности Σ в единицу времени; \mathbf{q}_0 — вектор теплового потока, характеризующий приток тепла через единичную поверхность в направлении нормали \mathbf{n}_0 к начальной поверхности Σ_0 в единицу времени.

Используя теорему Остроградского — Гаусса, из выражения (2.1) получаем

$$\Delta Q = - \iiint_{V_0} \overset{\circ}{\nabla} \cdot \mathbf{q}_0 dV_0 \Delta t. \quad (2.2)$$

Вектор теплового потока полагаем связанным с неоднородным температурным полем с помощью соотношения

$$\mathbf{q}_0(\mathbf{x}, t) = -\Lambda_0 \cdot \overset{\circ}{\nabla} T, \quad (2.3)$$

где Λ_0 — тензор теплопроводности, определяемый физическими свойствами вещества; $\overset{\circ}{\nabla} T$ — градиент температуры.

Для изотропного материала запишем тензор теплопроводности в виде $\Lambda_0 = \lambda \sqrt{G/g} G^{-1}$, где $G^{-1} = (\Phi \cdot \Phi^x)^{-1}$ — обратный метрический тензор. В этом случае закон теплопроводности (2.3) преобразуется в закон Фурье $\mathbf{q}(\mathbf{x}, t) = -\lambda \nabla T$, используемый в механике сплошных сред [9, 10]. Для анизотропного материала тензор Λ_0 определяется присущей данному материалу симметрией свойств.

С помощью соотношения (2.2) определяется скорость притока тепла к единице объема материала в виде $\dot{Q} = -\overset{\circ}{\nabla} \cdot \mathbf{q}_0$, выражение для которой с учетом соотношения для теплового потока (2.3) принимает вид

$$\dot{Q} = \overset{\circ}{\nabla} \cdot (\Lambda_0 \cdot \overset{\circ}{\nabla} T). \quad (2.4)$$

В случае изотропного материала $\dot{Q} = \lambda \nabla^2 T$, где оператор $\nabla^2 = \sqrt{G/g} \overset{\circ}{\nabla} \cdot G^{-1} \cdot \overset{\circ}{\nabla}$.

Определим скорость притока тепла \dot{Q} исходя из второго закона термодинамики, который в дифференциальной форме записывается в виде $T\dot{\eta} = \dot{Q}/\rho_0 + \dot{w}$, где $\dot{\eta}$, $\dot{w} \geq 0$ — скорость изменения удельной энтропии и скорость диссипации соответственно [9]. Тогда

$$\dot{Q} = \rho_0(T\dot{\eta} - \dot{w}). \quad (2.5)$$

Приравняв правые части выражений (2.4) и (2.5), получаем уравнение теплопроводности в общем виде

$$\rho_0(T\dot{\eta} - \dot{w}) = \overset{\circ}{\nabla} \cdot (\Lambda_0 \cdot \overset{\circ}{\nabla} T). \quad (2.6)$$

Это уравнение необходимо конкретизировать на основе представлений для энтропии η и скорости диссипации \dot{w} в рассматриваемой модели материала.

Умножая левую и правую части уравнения (2.6) на отличную от нуля во всех точках рассматриваемого материального объема вариацию скорости изменения температуры $\delta\dot{T}$ и интегрируя по начальному объему, после преобразований получаем следующее уравнение теплопроводности в вариационной форме:

$$\int_{V_0} \rho_0(T\dot{\eta} - \dot{w}) \delta\dot{T} dV_0 = - \int_{\Sigma_0} \mathbf{n}_0 \cdot \mathbf{q}_0 \delta\dot{T} d\Sigma_0 - \int_{V_0} (\Lambda_0 \cdot \overset{\circ}{\nabla} T) \cdot \delta(\overset{\circ}{\nabla} \dot{T}) dV_0. \quad (2.7)$$

На основе данного уравнения можно получить решение связанных термомеханических краевых задач. Для определенной модели материала необходимо задать выражения для энтропии и скорости диссипации.

3. Система уравнений связанной задачи обратимого конечного деформирования. Рассмотрим процесс нелинейного обратимого деформирования, не сопровождающийся производством диссипации. При этом основное термомеханическое соотношение [9, 11] имеет вид

$$\dot{\Psi} + \eta\dot{T} = \frac{1}{\rho_0} \Sigma_R \cdot \dot{M} + \dot{w}, \quad \dot{w} = 0, \quad (3.1)$$

где $\Psi = \Psi(M, T)$ — удельная свободная энергия, которая полагается функцией меры деформаций M и абсолютной температуры T .

Мера деформаций M , введенная в работах [11, 12], определяется как решение дифференциального уравнения

$$\dot{M} \equiv \frac{dM}{dt} = W_R = R \cdot W \cdot R^{-1}, \quad (3.2)$$

где $W = (\nabla v + v\nabla)/2$ — тензор деформации скорости. В [11, 12] показано, что неголономная мера деформаций M является энергетически сопряженной с обобщенным тензором напряжений, поэтому выражение $\rho_0^{-1} \Sigma_R \cdot \dot{M}$ представляет собой удельную мощность напряжений.

Квадратичное представление для свободной энергии представим в виде

$$\rho_0 \Psi(M, T) = M \cdot N \cdot M - B \cdot M(T - T_0) + \rho_0 \Psi_0(T), \quad (3.3)$$

где N , B — постоянные тензоры, характеризующие механические и термические свойства материала; $\Psi_0(T)$ — составляющая свободной энергии, зависящая только от температуры, причем $d\Psi_0/dT = -c_\varepsilon \ln(T/T_0)$ (c_ε — удельная теплоемкость материала) [11, 13, 14].

Из соотношения (3.1) следует, что

$$\Sigma_R = \rho_0 \frac{\partial \Psi}{\partial M}, \quad \eta = -\frac{\partial \Psi}{\partial T}. \quad (3.4)$$

Тогда с использованием представления (3.3) соотношения, определяющие связь между напряжениями, конечными деформациями и температурой анизотропного материала, записываются в виде [13]

$$\Sigma_R = N \cdot M - B \cdot (T - T_0). \quad (3.5)$$

В случае изотермических бесконечно малых деформаций соотношения (3.5) асимптотически совпадают с законом Гука, поэтому тензор N имеет смысл тензора упругости. При неизотермических бесконечно малых деформациях соотношения (3.5) совпадают с уравнениями состояния Дюамеля — Неймана [14], а тензор B определяет температурные напряжения в материале.

На основании соотношений (3.3) и (3.4) выражение для энтропии имеет вид [13]

$$\eta = \frac{1}{\rho_0} B \cdot M + c_\varepsilon \ln \frac{T}{T_0},$$

а скорость ее изменения равна

$$\dot{\eta} = \frac{1}{\rho_0} B \cdot \dot{M} + c_\varepsilon \frac{\dot{T}}{T}.$$

Тогда уравнение теплопроводности в вариационной форме (2.7) можно представить в виде

$$\int_{V_0} (B \cdot \dot{M} T + c_\varepsilon \rho_0 \dot{T}) \delta \dot{T} dV_0 = - \int_{\Sigma_0} \mathbf{n}_0 \cdot \mathbf{q}_0 \delta \dot{T} d\Sigma_0 - \int_{V_0} (\Lambda_0 \cdot \overset{\circ}{\nabla} T) \cdot \delta(\overset{\circ}{\nabla} \dot{T}) dV_0. \quad (3.6)$$

Возможна конкретизация соотношений (3.5), (3.6) для изотропного материала, поскольку первый инвариант меры деформаций M , используемой в этих соотношениях, связан только с изменением объема, а девиатор этой меры изменяется только в процессах формоизменения [11, 12].

В случае изотропного материала определяющие соотношения (3.5) имеют вид

$$\Sigma_R = 3K(\theta - \alpha(T - T_0))E + 2G\tilde{M},$$

где $\tilde{M} = M - (M \cdot E)E/3$ — девиатор тензора M ; $\theta = M \cdot E = \ln(dV/dV_0)$ — первый инвариант тензора M , характеризующий изменение объема.

Поскольку в соответствии с (3.2) $\dot{M} = W_R$, в левой части уравнения теплопроводности (3.6) получаем $B \cdot \dot{M} T = 3\alpha K E \cdot W_R T = 3\alpha K \dot{\theta} T$, а в правой части — $(\Lambda_0 \cdot \overset{\circ}{\nabla} T) \cdot \delta(\overset{\circ}{\nabla} \dot{T}) = \lambda \nabla^2 T \delta \dot{T}$. Для изотропного материала уравнение теплопроводности в вариационной форме (3.6) принимает вид

$$\int_{V_0} (3\alpha K \dot{\theta} T + c_\varepsilon \rho_0 \dot{T}) \delta \dot{T} dV_0 = - \int_{\Sigma_0} \mathbf{n}_0 \cdot \mathbf{q}_0 \delta \dot{T} d\Sigma_0 - \int_{V_0} \lambda \nabla^2 T \delta \dot{T} dV_0.$$

Эволюционные соотношения для перемещений, напряжений и температуры имеют вид

$$\mathbf{v}(\mathbf{x}, t) = \frac{d\mathbf{u}(\mathbf{x}, t)}{dt}, \quad \dot{S}(\mathbf{x}, t) = \frac{dS(\mathbf{x}, t)}{dt}, \quad \dot{T}(\mathbf{x}, t) = \frac{dT(\mathbf{x}, t)}{dt} \quad \forall \mathbf{x} \in V_0. \quad (3.7)$$

Начальные условия, характеризующие состояние тела в начальный момент времени t_0 , следующие:

$$\mathbf{u}(\mathbf{x}, t_0) = \mathbf{u}_0(\mathbf{x}), \quad S(\mathbf{x}, t_0) = S_0(\mathbf{x}), \quad T(\mathbf{x}, t_0) = T_0(\mathbf{x}). \quad (3.8)$$

Согласно граничным условиям статического типа необходимо задание в каждой точке поверхности Σ_p закона изменения внешних сил как функции времени

$$\mathbf{P}_0 = \mathbf{P}_0^*(\mathbf{x}, t) \quad \forall \mathbf{x} \in \Sigma_p, \quad \forall t > t_0. \quad (3.9)$$

При задании граничных условий кинематического типа в каждой точке поверхности Σ_u определяется закон изменения перемещений материальных точек

$$\mathbf{u} = \mathbf{u}^*(\mathbf{x}, t) \quad \forall \mathbf{x} \in \Sigma_u, \quad \forall t > t_0. \quad (3.10)$$

В каждой точке поверхности Σ_{pu} могут быть заданы граничные условия смешанного типа, т. е. следующие разноименные составляющие векторов:

$$\mathbf{e}_i \cdot \mathbf{P}_0 = P_{i0}^*(\mathbf{x}, t), \quad \mathbf{e}_j \cdot \mathbf{u} = u_j^*(\mathbf{x}, t), \quad i \neq j \quad \forall \mathbf{x} \in \Sigma_{pu}, \quad \forall t > t_0. \quad (3.11)$$

Поверхности $\Sigma_p, \Sigma_u, \Sigma_{pu}$ не пересекаются: $\Sigma_0 = \Sigma_p \cup \Sigma_u \cup \Sigma_{pu}$.

Также на части поверхности Σ_T необходимо задать закон изменения температуры

$$T = T^*(\mathbf{x}, t) \quad \forall \mathbf{x} \in \Sigma_T, \quad \forall t > t_0, \quad (3.12)$$

на части поверхности Σ_q — закон изменения теплового потока

$$\mathbf{q} = \mathbf{q}^*(\mathbf{x}, t) \quad \forall \mathbf{x} \in \Sigma_q, \quad \forall t > t_0. \quad (3.13)$$

На части поверхности Σ_c может происходить свободный теплообмен с окружающей средой, температура которой $T_c(\mathbf{x}, t)$ известна. Закон теплообмена очень сложен, но для упрощения задачи во многих случаях он может быть принят в виде закона Ньютона [9], в соответствии с которым количество тепла, передаваемого в окружающую среду в единицу времени с единицы площади поверхности тела, пропорционально разности температур поверхности тела и окружающей среды. Таким образом, получаем граничное условие

$$\mathbf{n}_0 \cdot \Lambda_0 \cdot \overset{\circ}{\nabla} T + \alpha_0(T - T_c) = 0 \quad \forall \mathbf{x} \in \Sigma_c, \quad \forall t > t_0, \quad (3.14)$$

где α_0 — коэффициент теплообмена, который в общем случае зависит от разности температур $T - T_c$ и характера поверхности и окружающей среды, т. е. от радиус-вектора \mathbf{x} . В случае если материал рассматриваемого тела изотропный и коэффициент теплообмена не изменяется, не зависит от температуры и одинаков во всех точках поверхности тела, условие (3.14) можно представить в виде

$$\lambda \frac{\partial T}{\partial n_0} + \alpha_0(T - T_c) = 0.$$

Поверхности $\Sigma_T, \Sigma_q, \Sigma_c$ не пересекаются: $\Sigma_0 = \Sigma_T \cup \Sigma_q \cup \Sigma_c$.

При задании граничных условий полагаем, что функции (3.9)–(3.13) являются дифференцируемыми функциями времени. Тогда условия (3.9)–(3.13) соответственно можно представить в виде

$$\dot{\mathbf{P}}_0 = \dot{\mathbf{P}}_0^*(\mathbf{x}, t) \quad \forall \mathbf{x} \in \Sigma_p, \quad \forall t > t_0; \quad (3.15)$$

$$\mathbf{v} = \mathbf{v}^*(\mathbf{x}, t) \quad \forall \mathbf{x} \in \Sigma_u, \quad \forall t > t_0; \quad (3.16)$$

$$\dot{\mathbf{P}}_0 = \dot{\mathbf{P}}_0^*(\mathbf{x}, t), \quad \mathbf{v} = \mathbf{v}^*(\mathbf{x}, t) \quad \forall \mathbf{x} \in \Sigma_{pu}, \quad \forall t > t_0; \quad (3.17)$$

$$\dot{T} = \dot{T}^*(\mathbf{x}, t) \quad \forall \mathbf{x} \in \Sigma_T, \quad \forall t > t_0. \quad (3.18)$$

Таким образом, постановка связанной краевой задачи включает определение мер деформаций и кинематические соотношения (3.2), уравнение равновесия сплошной среды в вариационной форме (1.5), уравнение теплопроводности в вариационной форме (3.6), соотношения, определяющие связь между напряжениями, конечными деформациями и температурой (3.5), эволюционные соотношения (3.7), начальные условия (3.8) и граничные условия (3.14)–(3.18).

4. Результаты решения некоторых краевых задач. Постановка связанной краевой задачи, приведенная в данной работе, позволяет естественным образом перейти от вариационных принципов к численному решению методом конечных элементов. При этом используется разностная схема аппроксимации перемещений и температуры первого порядка по времени.

На рис. 1 представлены результаты расчетов для изотропного цилиндра с закрепленными торцами при изотермическом воздействии на него внутреннего давления. Показаны формы продольного сечения цилиндра при различных степенях деформации с характерным развитием “бочкообразности”, степень которой зависит от геометрических размеров цилиндра и от механических характеристик его материала.

Решена также задача о равновесии тонкостенного анизотропного цилиндра под действием внутреннего давления в однородном температурном поле. Внешняя боковая поверхность цилиндра свободна от нагрузок, его торцы свободны для перемещений в радиальном направлении. Один торец закреплен, а другой свободен в окружном и осевом направлениях, т. е. осевая сила и крутящий момент, приложенные к цилиндру, полагаются равными нулю. Начальная температура цилиндра была равна 273 К. Проведены расчеты при различных значениях конечной температуры и углах ориентации главных осей анизотропии материала цилиндра относительно ортов цилиндрической системы координат γ . С использованием такого анизотропного цилиндра моделируется один слой ленточного или намотанного композита.

Одной из интегральных характеристик деформированного состояния цилиндра является относительный угол закручивания, который вычисляется по формуле $\psi = (\varphi - \varphi_0)/L$, где φ , φ_0 — углы между радиусами цилиндра, проходящими на торцах, в деформированном и начальном состояниях; L — длина цилиндра в деформированном состоянии.

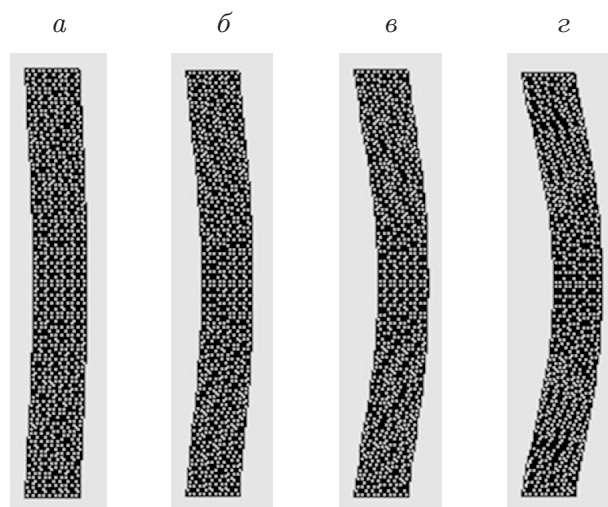


Рис. 1. Формы расчетной области для короткого цилиндра при различных значениях степени деформации ε :

a — $\varepsilon = 5\%$; $б$ — $\varepsilon = 10\%$; $в$ — $\varepsilon = 15\%$; $г$ — $\varepsilon = 20\%$

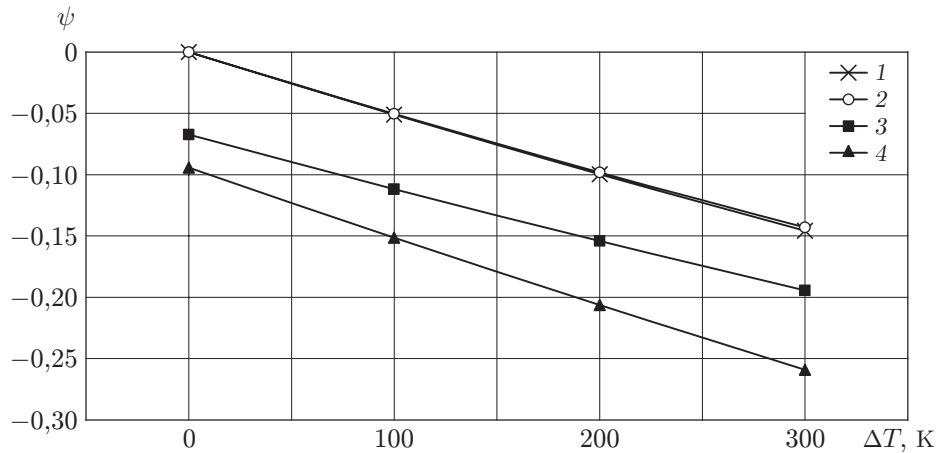


Рис. 2. Зависимости $\psi(\Delta T)$ при $p = 0$ (1, 2) и $p = 0,1$ МПа (3, 4) при $\varepsilon < 11$ %: 1, 3 — линейное решение (1 — классическая постановка задачи, 3 — постановка задачи, предложенная в данной работе); 2, 4 — нелинейное решение (2 — классическая постановка задачи, 4 — постановка задачи, предложенная в данной работе)

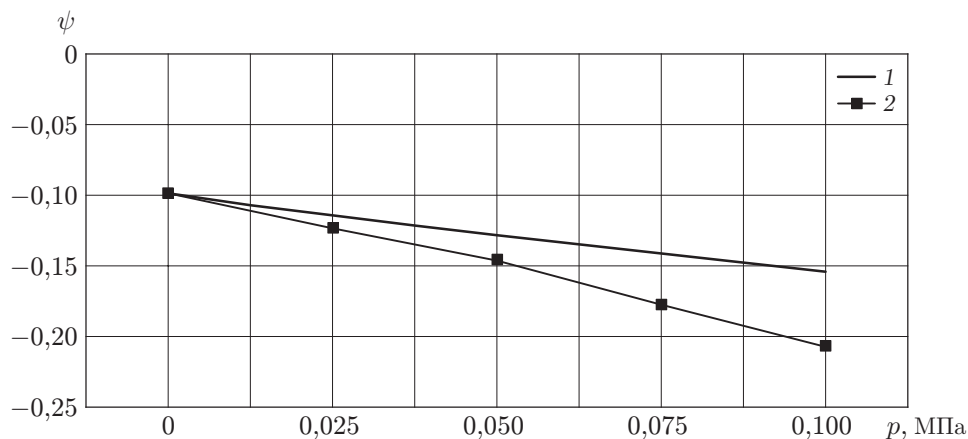


Рис. 3. Зависимости $\psi(p)$ при $\varepsilon < 11$ % и $T = 473$ К: 1 — линейное решение задачи; 2 — нелинейное решение задачи

На рис. 2 представлены зависимости относительного угла закручивания ψ от разности конечной и начальной температур $\Delta T = T - T_0$ при значениях давления, равных 0 и 10^5 Па, и угле $\gamma = 45^\circ$; на рис. 3 — зависимости ψ от давления при конечной температуре $T = 473$ К и угле $\gamma = 45^\circ$; на рис. 4 — зависимости ψ от угла ориентации главных осей анизотропии γ при значениях давления, равных 0 и 10^5 Па, и конечной температуре $T = 473$ К. Все зависимости получены при конечных деформациях ($\varepsilon < 11$ %).

Проведено сравнение результатов решения задачи в предложенной постановке (кривые 3, 4 на рис. 2, 4) и в классической постановке линейной термоупругости (кривые 1, 2). Таким образом, в ряде случаев результаты различаются на 30–40 %. Вследствие увеличения давления при постоянной разности конечной и начальной температур, а также увеличения разности температур при постоянном давлении увеличиваются различия результатов, полученных по линейной и нелинейной теориям.

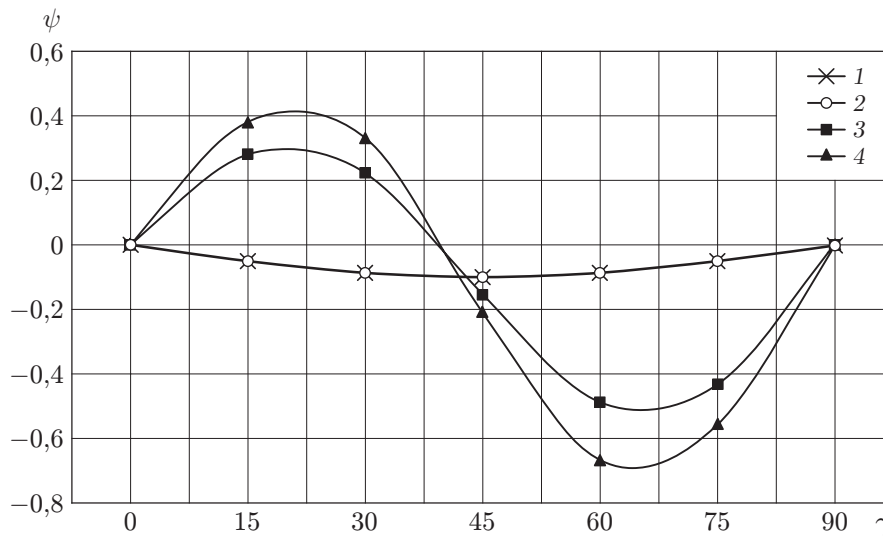


Рис. 4. Зависимости $\psi(\gamma)$ при $p = 0$ (1, 2) и $p = 0,1$ МПа (3, 4) при $\varepsilon < 11$ %: 1, 3 — линейное решение (1 — классическая постановка задачи, 3 — постановка задачи, предложенная в данной работе); 2, 4 — нелинейное решение (2 — классическая постановка задачи, 4 — постановка задачи, предложенная в данной работе)

С помощью решения краевых задач в предложенной постановке можно не только описать процессы изотермического деформирования, но и учесть взаимное влияние напряженно-деформированного состояния и температурного поля при конечных (в рассмотренных примерах — при $\varepsilon < 11$ %) деформациях.

ЛИТЕРАТУРА

1. Адамов В. И., Маркин А. А. Моделирование процессов обработки давлением осесимметричных изделий // Изв. вузов. Машиностроение. 1989. № 12. С. 104–108.
2. Толоконников О. Л., Маркин А. А., Астапов В. Ф. Исследование процесса формоизменения с учетом конечности деформаций // Прикл. механика. 1983. Т. 19, № 10. С. 122–125.
3. Био М. А. Вариационные принципы в теории теплообмена. М.: Энергия, 1975.
4. Ланцош К. Вариационные принципы механики. М.: Мир, 1965.
5. Зубов Л. М. Вариационные принципы нелинейной теории упругости. Случай наложения малой деформации на конечную // Прикл. математика и механика. 1971. Т. 35, вып. 5. С. 848–852.
6. Зубов Л. М. Вариационные принципы нелинейной теории упругости // Прикл. математика и механика. 1971. Т. 35, вып. 3. С. 406–410.
7. Лурье А. И. Теория упругости. М.: Наука, 1970.
8. Лурье А. И. Нелинейная теория упругости. М.: Наука, 1980.
9. Ильюшин А. А. Механика сплошной среды. М.: Изд-во Моск. гос. ун-та, 1990.
10. Седов Л. И. Механика сплошной среды: Учеб. для ун-тов. В 2 т. М.: Наука, 1970. Т. 1.
11. Маркин А. А. Термомеханические модели обратимого конечного деформирования / А. А. Маркин, М. Ю. Соколова. Тула: Тул. гос. ун-т, 2010.

12. **Маркин А. А.** Теория процессов А. А. Ильюшина и термомеханика конечного равновесного деформирования // Упругость и неупругость: Материалы Междунар. науч. симп., Москва, 20–21 янв. 2001 г. М.: Изд-во Моск. гос. ун-та, 2001. С. 51–61.
13. **Маркин А. А., Соколова М. Ю.** Вариант определяющих соотношений нелинейной термоупругости для анизотропных тел // ПМТФ. 2003. Т. 44, № 1. С. 170–175.
14. **Новацкий В.** Теория упругости. М.: Мир, 1975.

*Поступила в редакцию 16/IV 2010 г.,
в окончательном варианте — 18/V 2011 г.*
